

УДК 532.501.34 : 532.517.2

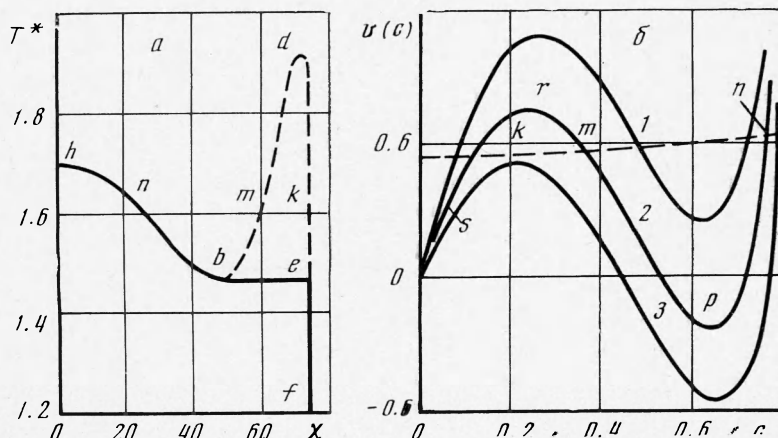
УСТОЙЧИВОСТЬ СВЕРХЗВУКОВОГО ПОГРАНИЧНОГО СЛОЯ
ПО ОТНОШЕНИЮ К ТРЕХМЕРНЫМ ВОЗМУЩЕНИЯМ

A. A. Маслов

(Новосибирск)

Исследуется устойчивость сверхзвукового пограничного слоя на сильно охлажденной пластине по отношению к трехмерным возмущениям. Рассматриваются две кривые нейтральной устойчивости, существование которых было обнаружено в [1]. На основе асимптотического анализа показано, что каждая из этих двух кривых нейтральной устойчивости в некотором диапазоне углов распространения возмущения разделяется на замкнутую и обычную нейтральные кривые. При охлаждении поверхности замкнутая нейтральная кривая стягивается в точку. Результаты асимптотического анализа подтверждены численным интегрированием уравнений устойчивости.

1. Влияние трехмерности возмущений на устойчивость сверхзвукового пограничного слоя над охлаждаемой поверхностью исследовалось в [2]. Было показано, что понижение температуры поверхности увеличивает критическое число Рейнольдса потери устойчивости R^* и уменьшает



Фиг. 1

область неустойчивости для всех трехмерных возмущений. Однако полная стабилизация в отличие от случая двумерных возмущений [3] имеет место только в диапазоне углов $0 < \chi < \chi^*$, где χ — угол между направлением распространения возмущения и направлением набегающего потока, $\chi^* = \arccos M^{-1}$, M — число Маха набегающего потока. Для $\chi > \chi^*$ при любой температуре поверхности имеются нейтральные и возрастающие возмущения, но R^* для них настолько велики (числа Рейнольдса, построенные по толщине пограничного слоя, $\sim 10^6$), что они, по-видимому, не имеют практического значения. Критические значения температуры поверхности $T^* = T^*(\chi)$, ниже которых наступает полная стабилизация пограничного слоя на плоской пластине, были рассчитаны в [2] асимптотическим методом для $M = 4$ (сплошная кривая на фиг. 1, a).

Температуры полной стабилизации определялись из условия, которое должно выполняться для $c \geq c_s$

$$(1.1) \quad v(c, T) \geq \max |\psi_i(z)|$$

Здесь c — фазовая скорость возмущения, T — температура поверхности, $v(c, T)$ — функция невязких решений, вид которой для $M = 4$ показан на фиг. 1, б, $\psi_i(z)$ — мнимая часть функции вязких решений, максимум которой в зависимости от c отмечен пунктирной линией на фиг. 1, б, c_s — наименьшее значение фазовой скорости, при котором возможны затухающие вне пограничного слоя решения.

В данной работе рассматриваются нейтральные кривые при температурах поверхности, меньших температур полной невязкой стабилизации. Для таких нейтральных кривых $c \rightarrow c_s$ как на нижней, так и на верхней асимптотах. Значению c_s соответствует число Рейнольдса $R_s = \infty$ [3]

$$(1.2) \quad c_s = 1 - (M \cos \chi)^{-1}$$

Если при фиксированном значении T для $c > c_s$ $v(c)$ — монотонная функция c , температура полной стабилизации определяется из условия [2,3]

$$(1.3) \quad v(c_s, T) = \max |\psi_i(z)|$$

Решение уравнения (1.3) дает зависимость $T(\chi)$, изображенную на фиг. 1, а линией *hbdef*. Участки *hb* и *ef* совпадают с условиями полной стабилизации. Значение пунктирной кривой, появляющейся из-за немонотонности $v(c)$, в [2] выяснено не было. Было высказано предположение, что при некоторой температуре поверхности возможно разделение нейтральной кривой на две, одна из которых стабилизируется обычным образом, а вторая продолжает существовать при конечных R .

Как отмечается в [2], чтобы подтвердить это предположение, необходим метод решения уравнений устойчивости для сверхзвуковых течений при конечных волновых числах α (при полной стабилизации, рассматриваемой в работе [2], $\alpha = 0$). Авторы [2] таким методом не располагали и дальнейший анализ в их работе не проводился.

В последние годы разработано несколько методов, позволяющих решать уравнения устойчивости численно. Это дает возможность завершить асимптотический анализ [2] и проконтролировать полученные с его помощью выводы точными численными расчетами.

2. Продолжим асимптотический анализ работы [2], основываясь на фиг. 1, а, б. Рассмотрим поведение нейтральных кривых при фиксированной температуре поверхности. Выберем такую температуру T_1 , для которой $\max |\psi_i(z)|$ три раза пересекает зависимость $v(c)$ на фиг. 1, б (кривая 2) и угол распространения возмущения $\chi_1 \leq \chi^*$ (угол, для которого c_s близко к нулю).

Тогда на отрезке *sk* (фиг. 1, б) $v(c)$ — монотонная функция c и должна существовать обычная нейтральная кривая. Каждому c из $c_k > c \geq c_z$ соответствуют два значения $\psi_i(z)$ — одно для верхней ветви нейтральной кривой, другое — для нижней [3]. При $c = c_k$ верхняя и нижняя ветви нейтральной кривой сливаются, при этом выполняется условие [3]

$$(2.1) \quad v(c) = \max |\psi_i(z)|$$

На участке *trpn* (фиг. 1, б) $v(c)$ — немонотонная функция c . Для c из $c_m < c < c_n$ $v(c) < \max |\psi_i(z)|$ и возможны решения, соответствующие нейтральным и усиливающимся возмущениям. Функция $v(c)$ дважды пересекает $\psi_i(z)$, т. е. должны существовать две ветви нейтральной кривой, которые сливаются при $c = c_m$ и $c = c_n$ (для этих значений c

выполняется условие (2.1)), ограничивая замкнутую область неустойчивости. Таким образом, для температуры T_1 кроме обычной нейтральной кривой, определяемой отрезком sk зависимости $v(c)$, должна существовать замкнутая нейтральная кривая.

При уменьшении угла в области $\chi < \chi_1$ нижний предел для c , определяемый равенством (1.2), будет возрастать. Для углов, при которых $c_s > c_k$, будет существовать только одна замкнутая нейтральная кривая. На фиг. 1, а эта область ограничена пунктирной кривой bde .

Для угла, при котором $c_s = c_m$, число Рейнольдса, соответствующее этой точке нейтральной кривой, $R_m = R_s = \infty$, для меньших углов нейтральная кривая будет разомкнутой. На фиг. 1, а это линия bd .

Рассмотрим поведение нейтральных кривых при изменении температуры поверхности для фиксированного угла χ_1 .

Поведение нейтральной кривой, соответствующей отрезку sk зависимости $v(c)$, при изменении температуры поверхности такое же, как поведение нейтральной для двумерных возмущений. При уменьшении температуры для $T < T_1$ точки s и k зависимости $v(c)$ сближаются (кривая 1 на фиг. 1, б) и при достижении температур, отмеченных линией def на фиг. 1, а, значение числа Рейнольдса R для всех точек нейтральной кривой становится бесконечным, т. е. наступает полная стабилизация [2,3].

Замкнутая нейтральная кривая, соответствующая отрезку trp зависимости $v(c)$ при изменении температуры поверхности ведет себя иначе. При уменьшении температуры поверхности для $T < T_1$ сближаются точки t и n (фиг. 1, б), и при температуре, когда точка r касается линии $\max[\psi_i(z)]$, замкнутая нейтральная кривая стягивается в точку. Эта температура определяется касательной в точке b на фиг. 1, а. Так как для всех значений c из интервала $c_m < c < c_n$ выполняется условие $c > c_s$, стягивание замкнутой нейтральной кривой происходит при конечных значениях R . Для $T > T_1$ сближаются точки k и t и при температуре, когда точка r касается линии $\max[\psi_i(z)]$, замкнутая нейтральная кривая сливаются с обычной нейтральной кривой. Эта температура определяется касательной в точке d на фиг. 1, а.

Рассматривалась нейтральная кривая, определяемая первым максимумом $\psi_i(z)$ для $z \sim 3$ (пунктирная кривая на фиг. 1, а). Кроме этой нейтральной кривой при низких температурах поверхности существует еще одна вязкая нейтральная кривая [1], которая определяется вторым максимумом $\psi_i(z)$. Для малых c функция $\psi_i(z)$ очень хорошо приближается модифицированной функцией Титъенса $F_i(z)$. Тогда вторая нейтральная кривая определяется вторым максимумом $F_i(z)$, проявляющимся при $z \sim 6$. Значения $F(z)$ до $z = 10$ приведены в [4]. Для этой кривой справедливы приведенные выше рассуждения, но так как второй максимум $\psi_i(z)$ на порядок меньше, чем первый (~ 0.05), то температуры, при которых происходит образование замкнутой нейтральной кривой и стягивание ее в точку, будут больше, чем для рассмотренной ранее нейтральной кривой.

3. Для проверки выводов асимптотического анализа были проведены численные расчеты. Исследование проводилось на основе численного интегрирования уравнений устойчивости Лиза и Линя, дополненных членами, содержащими поперечную скорость основного течения [5]. Уравнения эти справедливы для плоских возмущений. Учет трехмерности проводился по приближенному методу Дана и Линя [2]. В уравнения устойчивости для плоских возмущений делалась подстановка

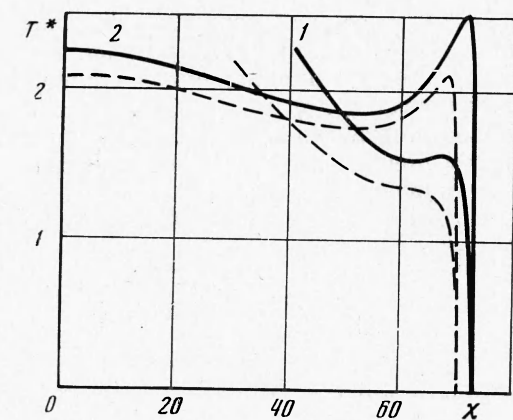
$$M^\circ = M \cos \chi, \quad R^\circ = R \cos \chi, \quad \alpha^\circ R^\circ = \alpha R, \quad c^\circ = c$$

Результаты, полученные по методу Дана и Линя для небольших сверхзвуковых чисел Маха ($M < 3$), мало отличаются от результатов, полу-

ченных при точном учете трехмерности возмущений [6], но применение этого метода позволяет значительно уменьшить время машинного счета. Температуры полной стабилизации определялись численным методом, предложенным в [1]. Кривые нейтральной устойчивости рассчитывались методом [7], позволяющим строить нейтральную кривую из условий ее полной стабилизации.

Осредненные величины, входящие в уравнения устойчивости, рассчитывались для пограничного слоя на плоской пластине при $\gamma = 1.41$, числе Прандтля $\sigma = 0.72$, $T_\infty = 157^\circ$, вязкости, изменяющейся по закону Саттерлена. Метод решения описан в [8].

В первой серии расчетов определялись температуры полной стабилизации для двух «вязких» нейтральных кривых при $M = 3.5$ (существование этих кривых для плоских возмущений было показано в [1] и исследовалось в [7]). Результаты расчета приведены на фиг. 2. Цифрой 1 отмечены температуры полной стабилизации первой кривой (соответствующей первому максимуму $\psi_i(z)$), цифрой 2 — второй (второму максимуму $\psi_i(z)$). Для $\chi = 40^\circ$ первая нейтральная кривая полностью исчезает аналогично тому, как она исчезла при некотором числе M для плоских возмущений [1, 7]. Для $\chi < 40^\circ$ при $M = 3.5$ существует только вторая нейтральная кривая.



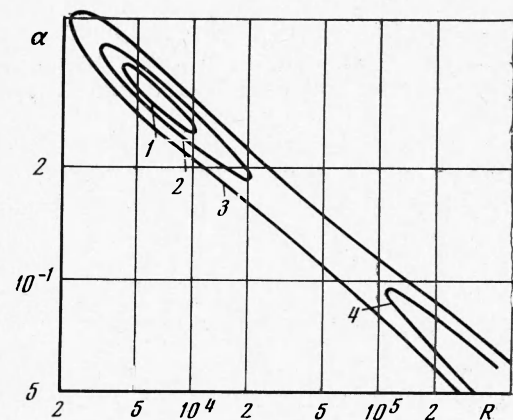
Фиг. 2

2 — второй (второму максимуму $\psi_i(z)$). Для $\chi = 40^\circ$ первая нейтральная кривая полностью исчезает аналогично тому, как она исчезла при некотором числе M для плоских возмущений [1, 7]. Для $\chi < 40^\circ$ при $M = 3.5$ существует только вторая нейтральная кривая.

Особенностью зависимости $T^*(\chi)$ как для первой, так и для второй нейтральных кривых является ее немонотонность для углов $\sim 65^\circ$. Это объясняется тем, что численный метод определения температур полной стабилизации [1] эквивалентен решению уравнения (1.3), т. е. результаты, полученные на его основе, эквивалентны кривой hbd на фиг. 1, а. Тогда согласно асимптотическому анализу должны существовать замкнутые нейтральные кривые, которые при уменьшении T стягиваются в точку.

Немонотонность зависимости $T^*(\chi)$ наблюдается не для всех чисел M . На фиг. 2 пунктирной кривой нанесены температуры полной стабилизации для $M = 3$.

Для первой нейтральной кривой $T^*(\chi)$ — монотонная функция, замкнутая нейтральная кривая не образуется. Для второй нейтральной кривой область существования замкнутой нейтральной кривой значительно уменьшилась. Такое же сглаживание зависимости $T^*(\chi)$ при уменьшении M наблюдалось при асимптотическом определении температур



Фиг. 3

полной стабилизации [9]. Во второй серии расчетов исследовалось поведение первой нейтральной кривой для $\chi_1 = 71^\circ$ при изменении температуры поверхности T . Результаты расчетов приведены на фиг. 3.

Для значения температуры $T = 1.6$ существует одна нейтральная кривая (кривая 3 на фиг. 3). При уменьшении температуры поверхности она разделяется и при $T = 1.562$ существуют две нейтральные кривые (2 и 4), одна из которых замкнута (2). Для разомкнутой нейтральной кривой критическое значение числа Рейнольдса R^* на два порядка больше, чем для замкнутой. При уменьшении температуры поверхности величина R^* для нее еще больше увеличивается, поэтому в дальнейшем эта нейтральная кривая не рассматривается. Для $T_1 = 1.551$ область неустойчивости уменьшается (кривая 1 на фиг. 3) и стягивается в точку.

В третьей серии расчетов (фиг. 4) исследовалось поведение замкнутой нейтральной кривой для $T_1 = 1.562$ при изменении χ . Для $\chi = 62.5^\circ$ температура $T > T^*$ на фиг. 4 (кривая 4) разомкнута. С ростом угла нейтральная кривая замыкается и для $\chi = 67^\circ$ существует только замкнутая кривая (3). С дальнейшим ростом угла χ кривая остается замкнутой. Минимальное значение R^* достигается при $\chi = 71^\circ$ (для теплоизолированной поверхности наиболее опасны возмущения, распространяющиеся под углом $\chi \sim 60^\circ$).

Таким образом, подтвердились основные выводы асимптотического анализа, касающиеся поведения нейтральной кривой 1 при изменении T и χ . Только температура, при которой замкнутая нейтральная кривая перестает существовать, лежит, как видно из расчетов, несколько ниже, чем касательная в точке b .

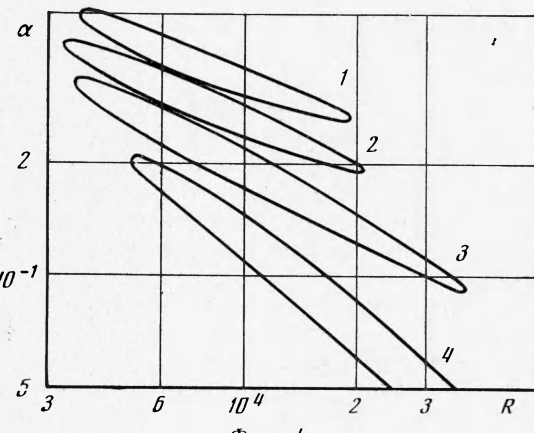
Поведение нейтральной кривой 2 (фиг. 2) при изменении χ и T аналогично поведению кривой 1, но R^* для нее в диапазоне опасных углов ($\chi \sim 60 \div 70^\circ$) значительно больше, чем для первой нейтральной кривой, взятой при тех же условиях.

Автор благодарит С. А. Гапонова за помощь в работе и обсуждения.

Поступила 10 IV 1973

ЛИТЕРАТУРА

- Гапонов С. А., Маслов А. А. Численное решение задачи о полной стабилизации сверхзвукового пограничного слоя. ПМТФ, 1972, № 2.
- Dunn D. W., Lin C. C. On the stability of the laminar boundary layer in a compressible fluid. J. Aeronaut. Sci., 1955, vol. 22, No. 7.
- Линь Ц. Ц. Теория гидродинамической устойчивости. М., Изд-во иностр. лит., 1958.
- Miles J. W. The hydrodynamic stability of a thin film of liquid in uniform motion. J. Fluid Mech., 1960, vol. 8, pt. 4.
- Cheng S.-I. On the stability of laminar boundary layer flow. Quart. Appl. Math., 1953, vol. 11, No. 3.
- Brown W. B. Stability of compressible boundary layers. AIAA Journal, 1967, vol. 5, No. 10.
- Маслов А. А. Численное исследование устойчивости сверхзвукового ламинарного пограничного слоя. ПМТФ, 1972, № 5.
- Mack L. M. Computation of the stability of the laminar compressible boundary layer. In: Methods Computat. Phys., vol. 4, New York — London, Acad. Press., 1965.
- Reshotko E. Transition reversal and Tollmien-Schlichting instability. Phys. Fluids, 1963, vol. 6, No. 3.



Фиг. 4